



## سچش از دور و سامانه اطلاعات جغرافیایی در منابع طبیعی (سال دهم / شماره سوم) پاییز ۱۳۹۸

نمایه شده در سایت: پایگاه استنادی علوم جهان اسلام، جهاد دانشگاهی، مگ ایران، نورمگز، سیویلیکا، گوگل اسکولار

آدرس وب سایت: <http://girs.iaubushehr.ac.ir>



# استفاده از مدل ارتفاعی تاج استخراج شده از تصاویر پهپاد برای برآورد ارتفاع درختان در جنگل سیسنگان

محمد رضا کارگر<sup>۱</sup>، هرمز سهرابی<sup>۲\*</sup>

۱. دانشجوی کارشناسی ارشد رشته علوم و مهندسی جنگل، دانشکده منابع طبیعی و علوم دریایی، دانشگاه تربیت مدرس

۲. دانشیار گروه علوم و مهندسی جنگل، دانشکده منابع طبیعی و علوم دریایی، دانشگاه تربیت مدرس

### مشخصات مقاله

پیشینه مقاله:  
دریافت: ۱۰ مهر ۱۳۹۷  
پذیرش: ۹ تیر ۱۳۹۸  
دسترسی اینترنتی: ۲۵ مهر ۱۳۹۸

واژه‌های کلیدی:  
پهپاد  
الگوریتم ساختار حرکت مبنای  
مدل ارتفاعی تاج  
مدل رقومی سطح زمین  
سیسنگان

### چکیده

پیشرفت‌های اخیر در زمینه وسائل پرنده و قابلیت نصب سنجنده‌های سبک بر روی آنها، امکان برآورد مشخصه‌های ساختاری درختان و توده‌های جنگلی را از راه دور با هزینه‌های نسبتاً کم در مقایسه با روش‌های سنتی مهیا کرده است. در این پژوهش، دقت و صحت برآورد ارتفاع تک درختان با استفاده از تصاویر یک پرنده هدایت‌پذیر از دور (پهپاد) ارزان‌قیمت بررسی شد. برای این منظور ۸۵۴ تصویر از ارتفاع ۱۰۰ متری برداشت شد و پس از پردازش‌ها، با استفاده از الگوریتم ساختار حرکت مبنای (SFM)، ابر نقاط متراکم تهیه گردید. منطقه موردمطالعه شامل ۳۴/۷۹ هکتار از پارک جنگلی سیسنگان بود که به منظور نمونه‌برداری، ۲۸ قطعه نمونه  $30 \times 30$  متر در آن طراحی گردید و نوع گونه و ارتفاع درختان ثبت شد. مدل‌سازی ارتفاع واقعی در مقابل ارتفاع برآورده از مدل ارتفاعی تاج توسط تحلیل رگرسیون انجام گرفت. دقت و صحت برآوردها با معیارهای اریبی نسبی و جذر میانگین مربعات خطای نسبی بررسی شد. بر اساس نتایج، اختلاف ارتفاع اندازه‌گیری شده زمینی و مستخرج از مدل ارتفاعی تاج از نظر آماری معنی‌دار بود. همچنین جذر میانگین مربعات خطای نسبی برای برآورد ارتفاع شمشاد، مرز، انگلی و سایر گونه‌ها به ترتیب  $20/39$ ،  $20/39$ ،  $20/57$  و  $20/52$  درصد محاسبه شد. درمجموع، اندازه‌گیری ارتفاع با استفاده از ابر نقاط تولیدشده از تصاویر پهپاد و روش‌های بکار برده شده در این تحقیق، اریب بود و برآوردها دارای عدم قطعیت زیادی بود.

\* پست الکترونیکی مسئول مکاتبات: hsohrabi@modares.ac.ir

**مقدمه**

کترل ارتفاع پروازی، زاویه دید سنجنده و تنظیم میزان همپوشانی تصاویر می‌باشدند (۲۴). بهره‌گیری از تصاویر اخذشده توسط پهپاد با کاهش هزینه‌ها برای تصویربرداری در مقیاس‌های کوچک و متوسط باعث شده است که این ابزار به عنوان یک ابزار بسیار مفید در این حوزه معرفی گردد (۱۸).

پهپادها با ایجاد امکان برداشت داده‌های طیفی و نیز به سبب برداشت تصاویر با همپوشانی زیاد و ایجاد امکان تولید ابر نقاط SFM; Structure به بعدی توسط الگوریتم ساختار حرکت مبنا (From Motion)، امکان برآوردن ارتفاع درختان را فراهم آورده است. به منظور تولید ابر نقاط به بعدی از داده‌های پهپاد، باید این تصاویر به میزان کافی با یکدیگر همپوشانی طولی و عرضی داشته باشند. جفت تصاویری که با یکدیگر همپوشانی دارند، با استفاده از الگوریتم SFM تبدیل به مدل سه‌بعدی سطح می‌گردند (۱۴). به طور خلاصه، فرآیند SFM استخراج یک ساختار سه‌بعدی از نماهای گوناگون دوربین متحرک است. در بخشی از این فرآیند، SFM در ابتدا نقاط کلیدی مشترک در هر جفت تصویر را که مانند هم هستند و دقیقاً از یک نقطه برداشت شده‌اند را شناسایی می‌کند. نقاط کلیدی ممکن است به شکل مجموعه‌ای از نقاط کنار هم دیده شوند که بعد از تعریف شده تصویر را تشکیل می‌دهند (۱۰).

در این زمینه تاکنون مطالعات متعددی در خارج از کشور صورت گرفته است؛ زارکو-تجادا و همکاران (۲۳) به منظور برآوردن ارتفاع تک درختان زیتون (*Olea europaea L.*) از طریق مدل سه‌بعدی ارتفاع در جنوب اسپانیا انجام دادند، ارتفاع درختان موجود در عرصه را با ضریب تبیین  $0.83^0$  و جذر میانگین مربعات خطای نسبی  $11.5$  درصد برآورد کردند.

لیم و همکاران (۱۲) تحقیقی در رابطه با برآوردن ارتفاع درختان با استفاده از تصاویر حاصل از پهپاد انجام دادند. در این تحقیق که در دو منطقه مطالعاتی صورت گرفت، آن‌ها موفق شدند که ارتفاع درخت را با جذر میانگین مربعات خطای به ترتیب  $0.84^0$  و در منطقه مطالعاتی دوم نیز با جذر میانگین مربعات خطای مقدار  $2.45$  متر برآورد نمایند.

پولیتی و همکاران (۲۰) به منظور آماربرداری در سطح قطعه‌نمونه انجام گرفت، از تصاویر پهپاد استفاده کردند. در این

ویژگی‌های ساختاری درختان از نظر بیولوژیکی و اقتصادی بسیار حائز اهمیت است. از جمله مهم‌ترین این ویژگی‌ها می‌توان به ارتفاع اشاره کرد. ارتفاع درخت، مشخصه مهمی در محاسبه حجم و زیست‌رسی روی زمینی جنگل است. همچنین رشد ارتفاعی درخت پارامتر مهمی برای تعیین حاصلخیزی رویشگاه است (۲۱). مشخصه کمی ارتفاع درخت، در موارد مختلفی مانند تعیین حجم، ترسیم منحنی ارتفاع، محاسبه ضرایب شکل و قد کشیدگی در زیست‌سنجی جنگل کاربرد دارد. برآوردن این ویژگی‌ها به منظور دسترسی به میزان پتانسیل‌های محیطی موجود در منطقه، بسیار لازم است (۶ و ۲).

ارتفاع درخت از جمله متغیرهایی است که در جنگل‌های معتدل‌له مانند جنگل‌های هیرکانی که عموماً تاج پوشش متراکم و ارتفاع درختان بلند است، دشوار، پرهزینه و همراه با خطا است. ضمن این‌که این کار نیازمند داشتن تجربه دانش کارشناسی است. دیگر آنکه برداشت داده نیز در برخی نقاط دور از دسترس و کوهستانی با مشکلات زیادی همراه است. مجموع این موارد سبب کاهش دقت آماربرداری و مسائل ناشی از آن می‌شود (۲۴).

مشکل دسترسی به برخی از عرصه‌ها و همچنین وجود تعداد بسیار زیادی درخت در واحد سطح، مستلزم آن است تا راه حلی اقتصادی و روشی دقیق به منظور برآوردن اطلاعات اساسی جنگل، ارائه شود (۵). از جمله به روزترین این روش‌ها، استفاده از پهپادها است. که ممکن است در صورت رسیدن بدقت مناسب، برای محدوده‌هایی مانند یک پارسل یا سری جنگلداری، توجیه فنی و اقتصادی داشته باشد. با پیشرفت‌های اخیری که در زمینه وسایل هوایی بدون سرنشین و سنجنده‌های قابل نصب بر روی آن‌ها صورت گرفته است، استفاده از این وسایل، زمان موردنیاز آماربرداری جنگل را به شکل چشم‌گیری کاهش داده است (۱۵). پهپادها دستگاه‌هایی هستند که انواع مختلفی از داده‌های سنجش‌ازدوری را با تفکیک مکانی و زمانی بالاتری در مقایسه با ماهواره‌ها فراهم می‌کنند که بسته به هدف کاربر قابل برنامه‌ریزی است (۷).

پهپادها نسبت به ماهواره دارای مزیت‌های مختلفی از جمله

استفاده از تصاویر رنگی طبیعی گرفته شده به وسیله پهپاد مورد بررسی قرار گرفت.

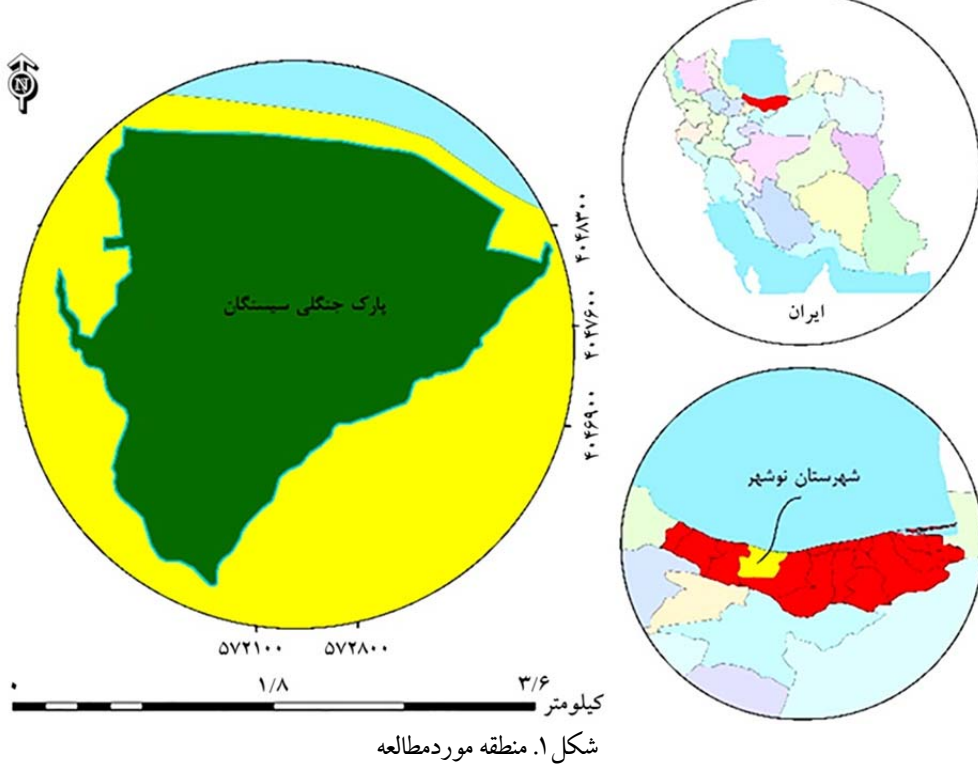
## مواد و روش‌ها

### منطقه مورد مطالعه

پارک جنگلی سیستانگان یکی از جنگلهای شمال کشور است که در حاشیه جنوبی دریای خزر به فاصله ۳۰ کیلومتری شرق شهر نوشهر قرار گرفته است (۱). این جنگل در عرض جغرافیایی  $33^{\circ} 36' \text{ تا } 35^{\circ} 36'$  شمالی و طول جغرافیایی  $47^{\circ} 51' \text{ تا } 49^{\circ} 51'$  شرقی واقع شده است.

پژوهش آن‌ها موفق شدند در مقیاس قطعه‌نمونه، میزان ارتفاع را با ضریب تبیین  $0.97$  و میزان جذر میانگین مربعات خطأ  $0.7$  متر بر هکتار برآورد کنند. بر اساس تحقیقی که یو و همکاران (۲۲) در سطوح مختلف آماربرداری انجام دادند، موفق به پیش‌بینی و مدل‌سازی آماربرداری در سطح قطعه‌نمونه با استفاده از آماربرداری در سطح تک‌درخت و ترکیبی شدند.

در این تحقیق آن‌ها موفق شدند ارتفاع را به ترتیب با  $0.742$  درصد جذر میانگین مربعات خطأ، ضریب تبیین  $0.94$ ، در مقیاس ترکیبی و در مقیاس تک‌درخت، ارتفاع را با  $0.569$  درصد جذر میانگین مربعات خطأ برآورد کنند. در پژوهش حاضر دقت و صحت برآورد ارتفاع درختان در یک جنگل جلگه‌ای پهن‌برگ با



شکل ۱. منطقه مورد مطالعه

دوربین Phantom 4 Pro بر روی یک سامانه لرزش گیر و پایدارساز سه محوره حرفاًی ( $\pm 0.03$  درجه) نصب شد که هیچ‌گونه لرزش و تکانی در تصویر دیده نشود. این پهپاد با قابلیت اتصال بسیار سریع به ۲۴ ماهواره به صورت همزمان موجب می‌گردد تا موقعیت خود را به صورت دقیق و کامل حفظ کند. این

### برداشت تصاویر هوایی با استفاده از پهپاد

پهپادی که برای تصویربرداری در این مطالعه به کار رفت، Phantom 4 Pro با قابلیت صعود و فرود عمودی است. این پهپاد با وزن ۱۳۸۰ گرم، دارای دوربینی با قابلیت ثبت تصویرهای ۲۰ مگا پیکسلی خام و با فرمت JPEG است ( $4000 \times 3000$  پیکسل).

## ساخت مدل رقومی سطح، زمین و تاج

با بررسی چشمی ابر نقاط متراکم مستخرج از تصاویر پهپاد، نقاط پرت حذف گردید. این نقاط آن‌هایی هستند که با فاصله زیاد از زمین یا بالای تاج درختان قرار گرفته‌اند. برای تفکیک نقاط مربوط به زمین و غیر زمین (شامل عوارض مختلف مانند درختان، ساختمان‌ها و ...)، از فیلتر ابر نقاط با پنجره‌های ۲ متری با شرط حداقل تغییرات  $7/5$  درجه استفاده شد. این دو پارامتر با آزمون‌خطا بر اساس بررسی چشمی طبقه‌بندی نهایی گردید. با استفاده از فیلتر مذکور ابر نقاط به دو گروه زمین و غیر زمین طبقه‌بندی شد. به سبب مسطح بودن جنگل مورد بررسی، نتایج این روش بر اساس ارزیابی چشمی، بسیار مطلوب بود. برای ایجاد مدل رقومی سطح (DSM; Digital Surface Model) ابر نقاط غیر زمین توسط شبکه مثلث‌بندی نامنظم (TIN; Triangulated Irregular Network) به یک‌لایه رستری تبدیل گردید. ارزش هر پیکسل در این لایه معادل ارتفاع عرضه از سطح دریا است.

مدل رقومی زمین (DTM; Digital Terrain Model) (شکل ۲) توسط شبکه مثلث‌بندی نامنظم اعمال شده برابر نقاط زمین به دست آمد (شکل ۳). در این مرحله، نتیجه شبکه مثلث‌بندی نامنظم یک‌لایه رستری است که ارزش هر پیکسل معادل ارتفاع زمین در آن پیکسل از سطح دریا است. با کسر مدل رقومی زمین از مدل رقومی سطح (DSM-DTM) (شکل ۴) مدل ارتفاعی تاج (CHM; Crown Height Model) به دست آمد (شکل ۳). مدل ارتفاعی تاج درواقع مشکل از پیکسل‌هایی است که ارزش هر پیکسل معادل ارتفاع عارضه (در مورد جنگل ارتفاع عارضه همان ارتفاع تاج) است. اندازه پیکسل برای محاسبات فوق ۳۰ سانتی‌متر بود.

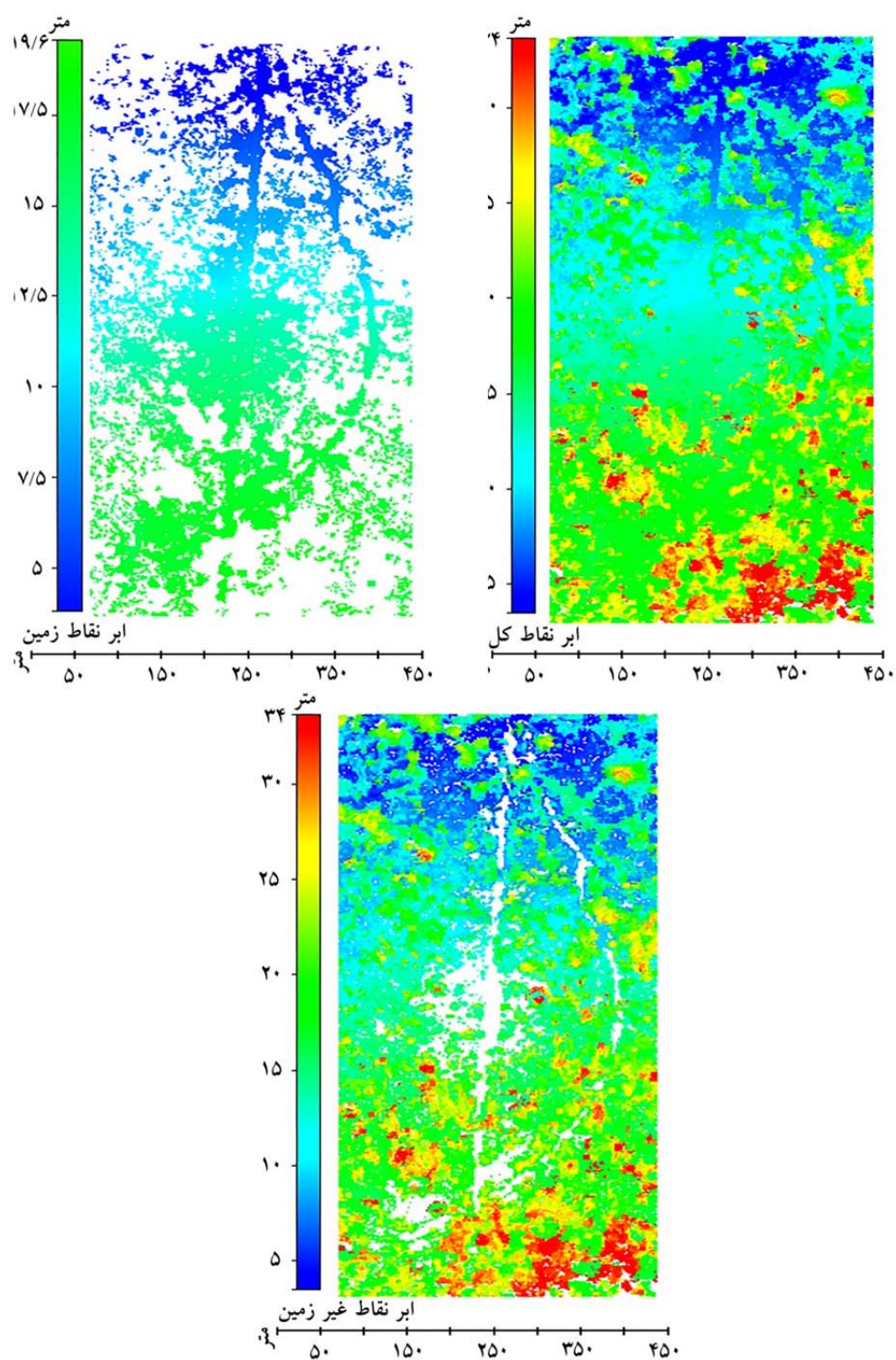
قابلیت باعث می‌شود تا پهپاد نقطه شروع، محل پرواز و ارتباط آن با کاربر را در طول پرواز حفظ نماید (۶).

به‌منظور اطمینان از ساخت مدل سه‌بعدی دقیق، هم‌پوشانی طولی و عرضی به ترتیب ۹۰ و ۸۰ درصد تعیین گردید (۲۳). برای برنامه‌ریزی عملیات از نرم‌افزار DJI GS Pro iOS در سیستم عامل خلبان خودکار پرنده (آتوپایلوت) ارسال شد و عملیات برداشت به صورت اتوماتیک صورت گرفت. مسیر پروازی پهپاد و مکان‌هایی که باید تصویر تصویربرداری می‌شد، قبل از پرواز مشخص شد. تعداد تصاویر برداشت شده در این پژوهش ۸۵۴ فریم (با ابعاد  $5472 \times 3648$ ) بود که در تاریخ چهارشنبه ۸ آذرماه ۱۳۹۶ ساعت ۱۰ صبح برداشت گردید. همچنین ارتفاع پرواز پهپاد ۱۰۰ متر و برداشت تصاویر از کل منطقه ۴۵ دقیقه به طول انجامید.

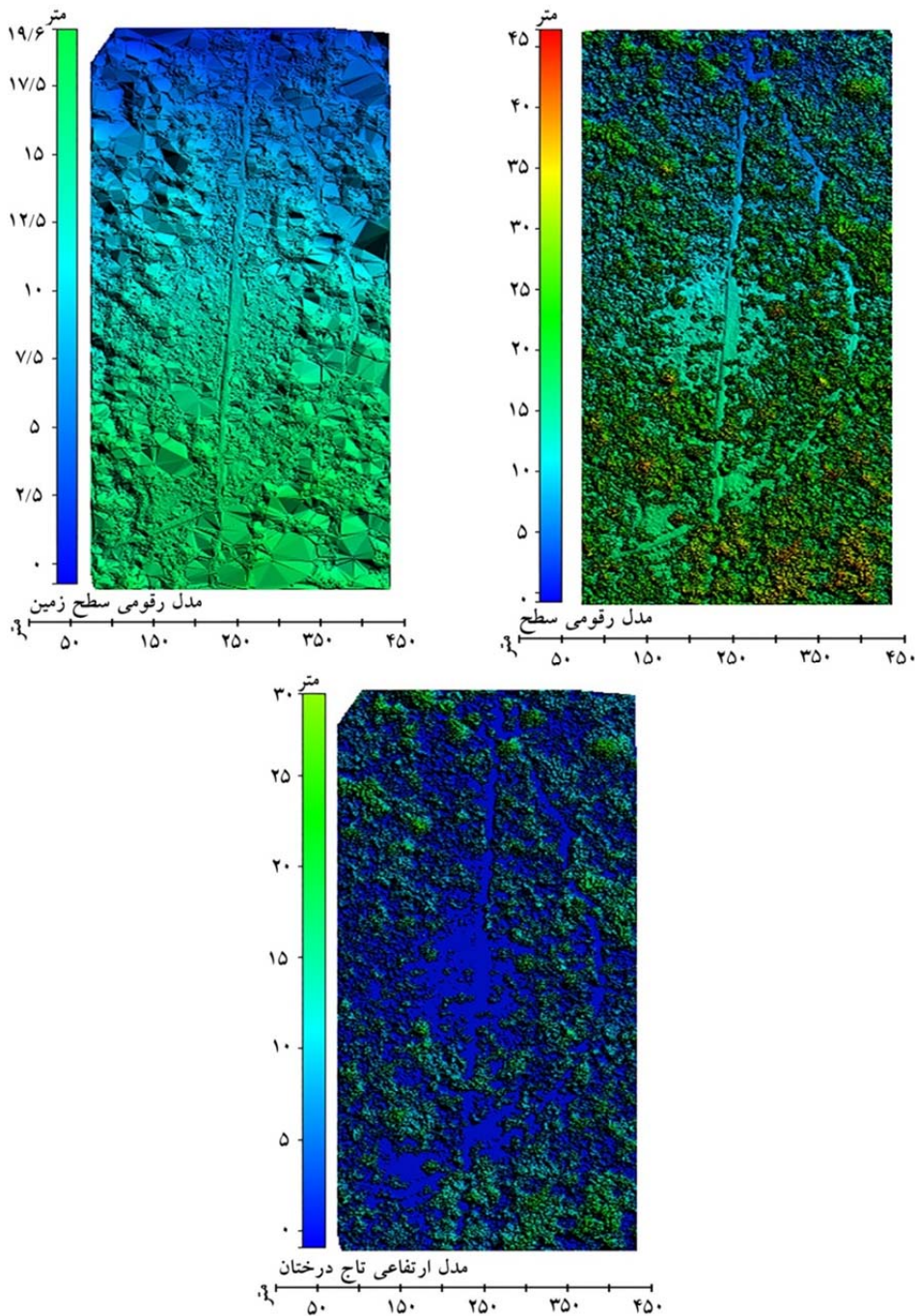
## تولید ابر نقاط متراکم

پس از برداشت تصاویر موردنظر، با استفاده از نرم‌افزار Agisoft PhotoScan پردازش‌های لازم به‌منظور تولید ابر نقاط متراکم صورت گرفت. مختصات مرکز هر تصویر که بر روی اطلاعات تصویر درج شده توسط نرم‌افزار مربوطه قرائت و تصاویر در کنار یکدیگر مرتب شد. پس از مرتب کردن تصاویر در کنار یکدیگر، ابر نقاط متراکم با استفاده از الگوریتم SFM (۱۳ و ۱۴) ایجاد گردید (شکل ۲).

خروجی نهایی این فرآیند، یک ساختار سه‌بعدی است که اطلاعاتی در مورد موقعیت‌های نسبی دوربین و فاصله‌های نسبی بین دوربین و شیء نیز ارائه می‌دهد (۹).



شکل ۲. نقشه ابر نقاط کل، ابر نقاط زمین و ابر نقاط غیر زمین منطقه مورد مطالعه



شکل ۳. نقشه مدل رقومی سطح، مدل رقومی سطح زمین و مدل ارتفاعی تاج درختان منطقه موردمطالعه

چاپ شده بود و برای بازیابی درختان به عرصه برده شد. تصویر هر یک از قطعات نمونه با هم راستایی تصویر با شمال مغناطیسی، توجیه گردید. حدود قطعات نمونه در منطقه موردمطالعه پیاده شده و با استفاده از متر نواری ابعاد دقیق آن مشخص گردید. آماربرداری زمینی در بازه زمانی ۱۰ آذرماه ۱۳۹۶ تا ۲۰ آذرماه انجام گردید.

### نمونهبرداری زمینی و ارتفاع درختان بر روی مدل ارتفاعی تاج

در این تحقیق ۲۸ قطعه نمونه با شبکه آماربرداری منظم با ابعاد ۳۰ در ۳۰ متر طراحی و با استفاده از دستگاه GPS دستی قطعات بر روی زمین بازیابی شد. ارتوفتو موzaïek هر یک از قطعات نمونه

سپس با استفاده از شبیه‌سنج سونتو مقادیر شبیه نوک و بن درخت برداشت شد. در این پژوهش گونه و ارتفاع  $904$  پایه اندازه‌گیری گردید. *Buxus hyrcana* با اختلاف زیادی، بیشترین فراوانی را در منطقه به خود اختصاص داده است. پس از آن *Parrotia persica* و *Carpinus betulus* در رتبه‌های بعدی قرار دارند (جدول ۱).

برای تعیین موقعیت دقیق، مرکز درخت بر روی تصویر مشخص گردید و به آن کدی اختصاص داده شد. به سبب تفکیک مکانی بالای تصاویر، تشخیص پایه‌های درختان و تمایز موقعیت مکانی آن‌ها نسبتاً ساده بود. گرچه در تاج پوشش‌های بسته این امر دشوار و احتمالاً با خطأ همراه باشد. به‌منظور اندازه‌گیری ارتفاع درختان ابتدا با استفاده از متر نواری فاصله از درخت اندازه‌گیری شد و

جدول ۱. نتایج آماربرداری میدانی

| گونه                        | تعداد | تراکم (تعداد در هکتار) | درصد  |
|-----------------------------|-------|------------------------|-------|
| <i>Buxus hyrcana</i>        | ۷۱۹   | ۲۸۵/۳۱                 | ۷۹/۵۳ |
| <i>Parrotia persica</i>     | ۷۸    | ۳۰/۹۵                  | ۸/۶۲  |
| <i>Carpinus betulus</i>     | ۵۸    | ۲۲/۰۱                  | ۶/۴۱  |
| <i>Acer velutinum</i>       | ۱۳    | ۵/۱۵                   | ۱/۴۳  |
| <i>Acer cappadocicum</i>    | ۱۰    | ۳/۹۶                   | ۱/۱۰  |
| <i>Ficus carica</i>         | ۱۰    | ۳/۹۶                   | ۱/۱۰  |
| <i>Ulmus glabra</i>         | ۶     | ۲/۳۸                   | ۰/۶۶  |
| <i>Quercus castanifolia</i> | ۵     | ۱/۹۸                   | ۰/۵۵  |
| <i>Tilia cordata</i>        | ۴     | ۱/۵۸                   | ۰/۴۴  |
| <i>Alnus subcordata</i>     | ۱     | ۰/۳۹                   | ۰/۱۱  |
| مجموع                       | ۹۰۴   |                        | ۱۰۰   |

### تحلیل‌های آماری

ابتدا امکان اندازه‌گیری مستقیم ارتفاع درختان با استفاده از مدل ارتفاعی تاج بررسی گردید. برای این منظور از آزمون  $t$  جفتی استفاده شد که در آن ارتفاع درختان بر روی زمین با ارتفاع درختان بر روی مدل ارتفاعی تاج با  $95$  درصد اطمینان مقایسه گردید. در مرحله بعد، ارتفاع درختان با استفاده از مدل‌سازی رگرسیون برآورد شد. در این مدل‌سازی، ارتفاع درختان بر روی زمین متغیر پاسخ و ارتفاع درختان بر روی مدل رقومی سطح، متغیر پیش‌بینی کننده بود. برای بررسی صحت برآورد ارتفاع درختان، از جذر میانگین مربعات خطای (Root Mean Square Error)، جذر میانگین مربعات خطای نسبی (Relative Root Mean Square Error) و اریبی نسبی (Relative Bias) استفاده گردید (جدول ۲). مدل‌های رگرسیونی بر اساس  $75$  درصد مشاهدات برآشش یافت و  $25$  درصد دیگر برای محاسبه صحت و دقت مدل‌ها مورد استفاده قرار گرفت.

با توجه به فراوانی بسیار انکه دیگر گونه‌ها، همه پایه‌های آن‌ها در یک گروه تحت عنوان سایر گونه‌ها قرار گرفت و در تحلیل‌های بعدی استفاده شد. گروه سایر گونه‌ها عبارت بود از *Tilia*, *Ulmus glabra*, *Acer cappadocicum*, *Acer velutinum*, *Ficus carica*, *Alnus subcordata*, *cordata* حدود  $10$  پایه از *Alnus subcordata* نیز. اندازه‌گیری شده بود که به سبب تفاوت معماری درخت از تحلیل‌ها کنار گذاشته شد. برای اندازه‌گیری ارتفاع درختان از روی مدل ارتفاعی تاج، ابتدا محل دقیق نوک درختان که در مشاهدات میدانی عملیات آماربرداری مشخص گردید بود، تعیین شد و در محیط نرم‌افزار نقطه‌گذاری شد. سپس مقادیر ارتفاعی مربوط به پیکسل‌هایی که با نقاط مشخص شده بودند، استخراج شد.

جدول ۲. معیارهای ارزیابی صحت و دقت برآورد ارتفاع درختان با استفاده از تصاویر پهپاد

| رابطه   | شانص                         |
|---|------------------------------|
| $RMSE = \frac{\sqrt{\sum_{i=1}^n (\hat{y}_i - y_i)^2}}{\sqrt{n}}$ | جذر میانگین مربعات خطأ       |
| $RMSE_r = \frac{RMSE}{\bar{y}}$                                   | جذر میانگین مربعات خطای نسبی |
| $Bias = \frac{\sum_{i=1}^n (\hat{y}_i - y_i)}{n}$                 | اربی                         |
| $Bias_r = \frac{Bias}{\bar{y}} \times 100$                        | اربی نسبی                    |

$y_i$ : مقدار مشاهده شده،  $\hat{y}_i$ : مقدار برآورد شده،  $n$ : تعداد نمونه،  $\bar{y}$ : میانگین مقادیر مشاهده شده

می‌گردد (۸). ترکیب نتایج عملی مستخرج از مدل ارتفاعی تاج و آماربرداری زمینی، برآورد ویژگی‌های ساختاری درخت از جمله ارتفاع را امکان‌پذیر کرده است.

### اندازه‌گیری و برآورد ارتفاع درختان

ارتفاع درختان به دو صورت نمونه‌برداری زمینی و از مدل ارتفاعی تاج درختان به دست آمد. خلاصه آماری برای داده‌های واقعی و مقادیر برآورد شده از روی مدل ارتفاعی تاج درختان در جدول ۳ آمده است.

### نتایج و بحث

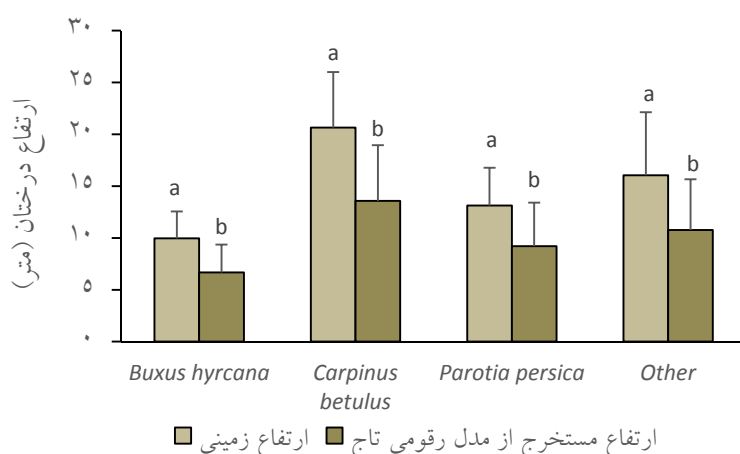
تصاویر پهپاد با ارتفاع پائین، مشاهده تاج پوشش و اندازه‌گیری ارتفاع درختان را به طور سیستماتیک امکان‌پذیر کرده است (۱۷). درروش سنتی عموماً به این صورت است که ارتفاع درختان در پایه‌های معده‌دی اندازه‌گیری می‌شود و ارتفاع دیگر درختان قطعات نمونه، با کمک معادلات رگرسیونی رابطه قطر برابر سینه و ارتفاع درخت به دست می‌آید، در این نقاط به دست آمده از تصاویر پهپاد نیز ویژگی‌های ساختاری مانند ارتفاع درخت، به وسیله مدل‌سازی رگرسیونی از مدل ارتفاعی تاج استخراج

جدول ۳. خلاصه آماری ارتفاع اندازه‌گیری شده به صورت زمینی و استخراج شده از مدل ارتفاعی تاج

| آماره              | روش               | نمونه | گونه‌ها | Other | <i>Parrotia persica</i> | <i>Carpinus betulus</i> | <i>Buxus hyrcana</i> |
|--------------------|-------------------|-------|---------|-------|-------------------------|-------------------------|----------------------|
| چارک اول           |                   |       |         | ۱۱/۵  | ۱۱/۳۵                   | ۱۸/۹۲                   | ۸/۱۲                 |
| میانه              |                   |       |         | ۱۴/۷۵ | ۱۳/۷                    | ۲۳/۰۵                   | ۱۰/۳۵                |
| نمونه‌برداری زمینی | چارک سوم          |       |         | ۲۰/۹۵ | ۱۵/۷۵                   | ۲۵/۲۵                   | ۱۲                   |
| بیشینه             |                   |       |         | ۳۱/۶  | ۲۲/۴                    | ۳۲/۳                    | ۲۰/۷                 |
| میانگین            |                   |       |         | ۱۶/۱۲ | ۱۳/۶۴                   | ۲۱/۹۵                   | ۱۰/۱                 |
| چارک اول           |                   |       |         | ۷/۷۷  | ۷                       | ۱۱/۵۵                   | ۴/۶۷                 |
| میانه              | مستخرج از مدل     |       |         | ۱۱/۰۱ | ۹/۳۵                    | ۱۵/۰۸                   | ۶/۹۴                 |
| چارک سوم           | ارتفاع تاج درختان |       |         | ۱۵/۰۶ | ۱۳/۱۸                   | ۱۸/۴۲                   | ۸/۵۹                 |
| بیشینه             |                   |       |         | ۲۱    | ۱۹/۳                    | ۲۲/۶                    | ۱۶/۴                 |
| میانگین            |                   |       |         | ۱۱/۲۵ | ۱۰                      | ۱۵/۱۷                   | ۶/۵۲                 |
| تعداد کل پایه‌ها   |                   |       |         | ۵۲    | ۶۰                      | ۴۶                      | ۷۱۶                  |

از مدل ارتفاعی تاج، کمتر از ارتفاع واقعی اندازه‌گیری شده به روش زمینی است. به طورکلی، اختلاف نسبی اندازه‌گیری ارتفاع حدود ۳۰ درصد بود. این مقادیر برای *Carpinus betulus* *Buxus hyrcana* درصد بود. این گونه‌ها به ترتیب ۲۹، ۳۴ و ۳۳ دست آمد.

برای مقایسه ارتفاع به دست آمده به روش اندازه‌گیری زمینی با ارتفاع استخراج شده از مدل ارتفاعی تاج، از آزمون t جفتی استفاده شد. همچنین برای رسم نمودار، از میانگین اختلاف‌ها با ۹۵ درصد حدود اعتماد استفاده گردید (شکل ۴). چنانکه ملاحظه می‌گردد، برای تمامی گونه‌ها، ارتفاع به دست آمده به دو روش مورد بررسی از نظر آماری اختلاف دارد، به شکلی که متوسط ارتفاع استخراج شده



حروف متفاوت در هر گروه ستون نشان‌دهنده اختلاف آماری معنی‌دار در سطح ۹۵ درصد اطمینان است.

شکل ۴. میانگین ارتفاع به دست آمده به روش زمینی و ارتفاع مستخرج از مدل ارتفاعی تاج

اطمینان معنی‌دار هستند. همچنین نتایج حاکی از آن است که ضرایب به دست آمده برای مدل‌های رگرسیونی محاسبه شده از نظر آماری معنی‌دار است (جدول ۶).

نتایج برآورده ارتفاع با استفاده از تحلیل رگرسیون در جدول‌های ۴، ۵ و ۶ آمده است. در جدول ۵ ملاحظه می‌گردد که مدل‌های برآش داده شده برای برآورد ارتفاع همگی با ۹۹ درصد

جدول ۴. مدل‌های رگرسیونی برآش یافته و میزان ضریب تعیین آن‌ها

| $R^2$ | مدل رگرسیونی برآش یافته |                         |
|-------|-------------------------|-------------------------|
| ۰/۳۳  | $y = ۰/۵۵۷x + ۶/۲۵۲۶$   | <i>Buxus hyrcana</i>    |
| ۰/۴۳  | $y = ۰/۶۵۶۲x + ۱۱/۷۱۸$  | <i>Carpinus betulus</i> |
| ۰/۵۲  | $y = ۰/۶۲۸۷x + ۷/۳۳۲۵$  | <i>Parrotia persica</i> |
| ۰/۶۵  | $y = ۱/۰/۰۷۹x + ۵/۱۹۰۴$ | سایر گونه‌ها            |

جدول ۵. جدول تحلیل واریانس مدل رگرسیونی برآش داده شده برای برآورد ارتفاع تک درختان با استفاده از مدل ارتفاعی تاج مستخرج از تصاویر پهپاد با استفاده از داده های آموزش

| p-value | F آماره | میانگین مربعات | مجموع مربعات | درجه آزادی | متغیرها | گونه                    |
|---------|---------|----------------|--------------|------------|---------|-------------------------|
|         | ۲۳۱/۸۴  | ۱۰۴۷/۲۲        | ۱۰۴۷/۲۲      | ۱          | مدل     | <i>Buxus hyrcana</i>    |
| </۰۰۰۱* |         | ۴/۵۲           | ۲۲۸۵/۵۴      | ۵۰۶        | خطا     |                         |
|         |         |                | ۳۳۳۲/۷۶      | ۵۰۷        | مجموع   |                         |
| </۰۰۰۱* | ۳۳/۱۹   | ۵۴۱/۸۶         | ۵۴۱/۸۶       | ۱          | مدل     | <i>Carpinus betulus</i> |
|         |         | ۱۶۷۳۲          | ۷۰۲/۰۱       | ۴۳         | خطا     |                         |
|         |         |                | ۱۲۴۳/۸۸      | ۴۴         | مجموع   |                         |
| </۰۰۰۱* | ۵۶/۶۳   | ۳۲۱/۶۰         | ۳۲۱/۶۰       | ۱          | مدل     | <i>Parrotia persica</i> |
|         |         | ۵/۶۷           | ۲۱۰/۱۲       | ۳۷         | خطا     |                         |
|         |         |                | ۵۳۱/۷۲       | ۳۸         | مجموع   |                         |
| </۰۰۰۱* | ۹۸/۲۲   | ۱۱۹۸/۰۳        | ۱۱۹۸/۰۲      | ۱          | مدل     | سایر گونه ها            |
|         |         | ۱۲/۲۰          | ۴۶۳/۴۹       | ۳۸         | خطا     |                         |
|         |         | ۱۶۶۱/۵۱        | ۳۹           | مجموع      |         |                         |

\* سطح اطمینان ۹۹ درصد

جدول ۶. ضرایب برآورده شده برای مدل های رگرسیونی برآش یافته بین ارتفاع اندازه گیری شده درختان و ارتفاع مستخرج از مدل ارتفاعی تاج مستخرج از تصاویر پهپاد با استفاده از داده های آموزش

| Prob> t | t آماره | Std Error | برآورده شده | اصطلاحات    | گونه                    |
|---------|---------|-----------|-------------|-------------|-------------------------|
| </۰۰۰۱* | ۲۵/۲۹   | .۰۲۵۲۴    | .۶۳۸۵۶      | عرض از مبدأ | <i>Buxus hyrcana</i>    |
| </۰۰۰۱* | ۱۵/۲۳   | .۰۰۳۵۲    | .۰۵۳۸       | شیب خط      |                         |
| </۰۰۰۱* | ۵/۹۹    | ۱/۸۰۹۷    | ۱۰/۸۳۴۶     | عرض از مبدأ | <i>Carpinus betulus</i> |
| </۰۰۰۱* | ۵/۷۶    | .۰۱۲۱۱    | .۰۶۹۸۱      | شیب خط      |                         |
| </۰۰۰۱* | ۷       | .۰۹۲۱۸    | .۰۴۵۲۰      | عرض از مبدأ | <i>Parrotia persica</i> |
| </۰۰۰۱* | ۷/۵۳    | .۰۰۹۱۸    | .۰۶۹۱۱      | شیب خط      |                         |
| .۰۰۰۶۲* | ۲/۹۰    | ۱/۳۷۶۹    | ۳/۹۹۳۴      | عرض از مبدأ | سایر گونه ها            |
| </۰۰۰۱* | ۹/۹۱    | .۰۱۱۱۳    | ۱/۱۰۳۸      | شیب خط      |                         |

\* سطح اطمینان ۹۹ درصد

گونه ها است. پس از آن *Carpinus betulus* *Parrotia persica* و *Buxus hyrcana* به ترتیب قرار می گیرند.

در جدول ۷ ضریب تعیین تعديل یافته و مقادیر جذر میانگین مربعات خطای برآورده ارتفاع هر یک از گونه ها نمایش داده شده است. بر اساس نتایج، بیشترین ضریب تعیین مربوط به گروه سایر

جدول ۷. ضریب تعیین تعدیل یافته و مقادیر جذر میانگین مربعات خطأ ارتفاع هر کدام از گونه‌ها

| Root Mean Square Error (m) | RSquare Adj. | گونه                    |
|----------------------------|--------------|-------------------------|
| ۲/۱۲                       | ۰/۳۱         | <i>Buxus hyrcana</i>    |
| ۴/۰۴                       | ۰/۴۲         | <i>Carpinus betulus</i> |
| ۲/۳۸                       | ۰/۰۹         | <i>Parrotia persica</i> |
| ۳/۴۹                       | ۰/۷۱         | سایر گونه‌ها            |

خطای نسبی قرار گرفته‌اند. میزان اربیی نیز بین ۲ سانتیمتر تا ۲ متر بود که به صورت نسبی بیشترین مقدار به *Carpinus betulus* اختصاص داشت.

نتایج اعتبار سنجی مدل‌های به دست آمده در جدول ۸ ارائه شده است. به طور کل جذر میانگین مربعات خطأ حدود ۳ متر و ۲۵ درصد است. جذر میانگین مربعات خطای نسبی برای سایر گونه‌ها بیشترین بود. پس از آن سه گونه دیگر با حدود ۲۰ درصد

جدول ۸. شاخص‌های ارزیابی دقت و صحّت اندازه‌گیری ارتفاع با استفاده از تصاویر پهپاد

| %Bias | Bias (m) | %RMSE | RMSE (m) | گونه                    |
|-------|----------|-------|----------|-------------------------|
| ۰/۱۸  | ۰/۰۲     | ۲۰/۳۹ | ۲/۰۵     | <i>Buxus hyrcana</i>    |
| ۹/۳۱  | ۱/۹۱     | ۲۰/۳۹ | ۴/۱۸     | <i>Carpinus betulus</i> |
| ۷/۹۰  | ۱/۱۱     | ۲۰/۰۷ | ۲/۸۹     | <i>Parrotia persica</i> |
| ۵/۹۵  | ۰/۸۵     | ۲۹/۰۲ | ۴/۲۱     | سایر گونه‌ها            |

تعداد درختان با طبقات زیاد و متعدد ارتفاعی می‌تواند باعث افزایش خطأ گردد. علت کاهش دقت در درختان با طبقات قطری زیاد، عدم تشخیص صحیح نوک درختان در زمان آماربرداری زمینی به منظور برداشت ارتفاع است (۳). در همین زمینه ایزوکا و همکاران (۱۱) طی تحقیقی توانستند با جذر میانگین مربعات خطأ ۱/۷۱ متر، ارتفاع درختان را در منطقه‌ای که از نظر اشکوب بندی بسیار شبیه منطقه مطالعه حاضر است، مدل‌سازی کنند.

در تحقیقی پولیتی و همکاران (۲۰) در منطقه بورآل اقدام به اندازه‌گیری ارتفاع درختان سورنی برگ از روی تصاویر پهپاد کردند. آن‌ها توانستند ارتفاع را با جذر میانگین مربعات خطأ نسبی ۳/۵ درصد برآورد کنند. دلیل بهبود نتایج آن‌ها در برآورد ارتفاع، نسبت به تحقیق حاضر، مقارن بودن تاج درختان سورنی برگ و همچنین داشتن نوک واحد است. عدم وجود تاج مقارن و نوک واحد در این درختان نیز از دیگر عوامل ایجاد خطأ در برداشت زمینی ارتفاع است. همچنین براساس نتایج این پژوهش، پایه‌های شمشاد به دلیل اینکه تاج مقارن‌تری نسبت به دیگر گونه‌های مورد مطالعه، نتایج

مقادیر اربیی ارتفاع برآورد شده به وسیله مدل در درختان شمشاد بسیار کمتر از دیگر گونه‌های است. از جمله مواردی که باعث کاهش مقدار اربیی مدل در این گونه است، می‌توان به تفکیک و تمایز بهتر این پایه‌ها اشاره کرد که دلیل اصلی آن خزان این درختان است. این مورد بر روی اندازه‌گیری مستقیم ارتفاع در عرصه و اندازه‌گیری از روی مدل ارتفاعی تاج تأثیر بسزایی دارد و به راحتی بالاترین ارتفاع درخت قابل تشخیص است (۲۰). در همین زمینه بر اساس تحقیقی که پاناگیوتیدیس و همکاران (۱۹) انجام دادند، میزان اربیی را در منطقه‌ای که درختان با فاصله بیشتر از یکدیگر بودند، بیش برآورد اعلام کردند. زارکو-تجادا و همکاران (۲۳) به بررسی و مقایسه ارتفاع درختان از روی تصاویر پهپاد و مقادیر واقعیت زمینی پرداختند؛ در این تحقیق آن‌ها توانستند با میزان جذر میانگین مربعات خطأ نسبی بین ۱۰ تا ۱۳ درصد ارتفاع درختان را مدل‌سازی کنند. براساس جدول ۵، از دلایل کاهش میزان خطأ در تحقیق آن‌ها نسبت به تحقیق حاضر می‌توان به آشکار بودن کامل سطح زمین به منظور ساخت مدل دقیق‌تر سه‌بعدی سطح زمین اشاره کرد.

بهتری دارند.

بیشتر با استفاده از رهیافت‌های دیگر مبتنی بر تصاویر پهپاد صورت گیرد تا بتوان هرچه بیشتر اریبی این داده‌های ارزشمند را کاهش داد یا حذف نمود.

### منابع مورد استفاده

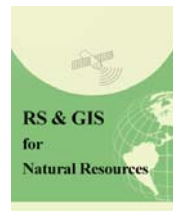
۱. بابازاده، ا.، ا. دانه‌کار، ب. ریاضی، ا. زاهدی، ف. طاهری و س. موسوی. ۱۳۹۴. تحلیل پوشش گیاهی مناطق باز در پارک جنگلی سیسنگان (استان مازندران). مجله پژوهش‌های گیاهی (مجله زیست‌شناسی)، ۲۸(۳): ۴۸۶-۴۹۸.
۲. بزرگی، ک. و ع. شیخ‌الاسلامی. ۱۳۹۵. بررسی ضریب قدکشیدگی در جنگل راش آمیخته در منطقه حاجیکلا تبرانکلی-ساری. تحقیقات منابع طبیعی تجدیدشونده، ۷(۱): ۱-۱۰.
۳. چناری، ا.، عرفانی‌فرد، م. دهقانی و ح. پورقاسمی. ۱۳۹۶. برآورد مساحت تاج تک‌درختان بنه با استفاده از DSM تصاویر هوایی پهپاد در جنگل تحقیقاتی بنه استان فارس. پژوهش‌های علوم و فناوری چوب و جنگل، ۲۴(۴): ۱۱۷-۱۳۰.
4. Agisoft L, St Petersburg R. 2014. Agisoft photoscan. Professional Edition, 7: 340 p.
5. Anderson K, Gaston KJ. 2013. Lightweight unmanned aerial vehicles will revolutionize spatial ecology. *Frontiers in Ecology and the Environment*, 11(3): 138-146.
6. Araus JL, Cairns JE. 2014. Field high-throughput phenotyping: the new crop breeding frontier. *Trends in Plant Science*, 19(1): 52-61.
7. Bhardwaj A, Sam L, Martín-Torres FJ, Kumar R. 2016. UAVs as remote sensing platform in glaciology: Present applications and future prospects. *Remote Sensing of Environment*, 175: 196-204.
8. Dandois JP, Ellis EC. 2010. Remote sensing of vegetation structure using computer vision. *Remote Sensing*, 2(4): 1157-1176.
9. Dellaert F, Seitz SM, Thorpe CE, Thrun S. 2000. Structure from motion without correspondence. In: Proceedings IEEE Conference on Computer Vision and Pattern Recognition. CVPR 2000 (Cat. No. PR00662). IEEE, pp 557-564.
10. Engel J, Schöps T, Cremers D. 2014. LSD-SLAM: Large-scale direct monocular SLAM. In: European conference on computer vision. Springer, pp 834-849.
11. Iizuka K, Yonehara T, Itoh M, Kosugi Y. 2018. Estimating Tree Height and Diameter at Breast Height (DBH) from Digital surface models and orthophotos obtained with an unmanned aerial system for a Japanese Cypress (*Chamaecyparis obtusa*) Forest. *Remote Sensing*, 10(1): 13.
12. Lim YS, La PH, Park JS, Lee MH, Pyeon MW, Kim J-I. 2015. Calculation of tree height and canopy crown

استفاده از فن‌آوری‌های جدید ازجمله هواییماهای بدون سرنشین و کاربرد آنها در مدیریت عرصه‌های پوشیده از جنگل، نه تنها در ایران بلکه در سطح دنیا کاری جدید است. با پیشرفت‌هایی که در زمینه سنجنده‌های قابل نصب بر روی این دستگاه‌ها صورت گرفته است، جایگاه آنها را بسیار گسترش داده است. این تحقیق سعی بر این داشت تا یکی از قابلیت‌های بی‌شمار تصاویر پهپادها را در زمینه مدیریت و آماربرداری جنگل نمایش دهد. استفاده از پهپادها در امر آماربرداری و مخصوصاً برداشت ارتفاع درختان، براساس نتایج این مقاله که در جنگل‌های ایران دارای پوشش تک‌دشت که قسمت وسیعی از جنگل‌های ایران دارای پوشش تنک بوده و از طریق تصاویر پهپاد، تک‌درختان و نوک آنها به‌منظور اندازه‌گیری ارتفاع، براحتی قابل تشخیص است. استفاده از این وسیله در این مناطق می‌تواند سرعت کار را افزایش دهد و مدیریت این عرصه‌ها را بهبود ببخشد. خوشبختانه با تغییراتی که در زمینه مدیریت جنگل‌ها و همچنین نحوه نگرش مستولات این بخش اتفاق افتاده است باعث ورود فن‌آوری‌های جدید ازجمله پهپادها به این عرصه شده. با ادامه این روند، امید است که بتوان از محصولات خروجی از تصاویر پهپادها، میزان استفاده از آنها را در مبحث مهم آماربرداری نیز گسترش داد.

### نتیجه‌گیری

نتایج بررسی‌های فوق نشان داد که اندازه‌گیری مستقیم ارتفاع درختان با استفاده از مدل ارتفاعی تاج منجر به تولید مقادیر اریب شد اما به کارگیری مدل‌سازی رگرسیونی، میران اریبی را بسیار کاهش داد. از طرف دیگر، درصد نسبتاً زیاد جنر میانگین مربعات خطای نسبی نشان از بالا بودن عدم قطعیت برای برآورد ارتفاع درختان دارد. بنابراین به نظر می‌رسد که این روش گرچه ممکن است برای بررسی‌های کیفی و اجمالی توده‌ها مناسب باشد، اما برای اهدافی مانند تهیه طرح‌های جنگلداری یا برداشت چوب، استفاده از این رهیافت‌ها توصیه نمی‌گردد. همچنین به سبب نوپا بودن این دانش و فناوری در داخل کشور بهتر است تلاش‌های

- from drone images using segmentation. *Journal of the Korean Society of Surveying, Geodesy, Photogrammetry and Cartography*, 33(6): 605-613.
13. Lisein J, Linchant J, Lejeune P, Bouché P, Vermeulen C. 2013. Aerial surveys using an unmanned aerial system (UAS): comparison of different methods for estimating the surface area of sampling strips. *Tropical Conservation Science*, 6(4): 506-520.
  14. Malambo L, Popescu SC, Murray SC, Putman E, Pugh NA, Horne DW, Richardson G, Sheridan R, Rooney WL, Avant R. 2018. Multitemporal field-based plant height estimation using 3D point clouds generated from small unmanned aerial systems high-resolution imagery. *International Journal of Applied Earth Observation and Geoinformation*, 64: 31-42.
  15. Miller E, Dandois J, Detto M, Hall J. 2017. Drones as a tool for monoculture plantation assessment in the steepland tropics. *Forests*, 8(5): 168.
  16. Mohan M, Silva C, Klauberg C, Jat P, Catts G, Cardil A, Hudak A, Dia M. 2017. Individual tree detection from unmanned aerial vehicle (UAV) derived canopy height model in an open canopy mixed conifer forest. *Forests*, 8(9): 340.
  17. Naesset E. 2002. Predicting forest stand characteristics with airborne scanning laser using a practical two-stage procedure and field data. *Remote Sensing of Environment*, 80(1): 88-99.
  18. Nevalainen O, Honkavaara E, Tuominen S, Viljanen N, Hakala T, Yu X, Hyppä J, Saari H, Pöllönen I, Imai N. 2017. Individual tree detection and classification with UAV-based photogrammetric point clouds and hyperspectral imaging. *Remote Sensing*, 9(3): 185.
  19. Panagiotidis D, Abdollahnejad A, Surový P, Chitecupo V. 2017. Determining tree height and crown diameter from high-resolution UAV imagery. *International Journal of Remote Sensing*, 38(8-10): 2392-2410.
  20. Puliti S, Ørka H, Gobakken T, Næsset E. 2015. Inventory of small forest areas using an unmanned aerial system. *Remote Sensing*, 7(8): 9632-9654.
  21. Shao G, Zhao S, Shugart H. 1995. Forest dynamics modeling: preliminary explanations of optimizing management of Korean pine forests. *China Forestry Publishing House*, Beijing, 255 p.
  22. Yu X, Hyppä J, Holopainen M, Vastaranta M. 2010. Comparison of area-based and individual tree-based methods for predicting plot-level forest attributes. *Remote Sensing*, 2(6): 1481-1495.
  23. Zarco-Tejada PJ, Diaz-Varela R, Angileri V, Loudjani P. 2014. Tree height quantification using very high resolution imagery acquired from an unmanned aerial vehicle (UAV) and automatic 3D photo-reconstruction methods. *European Journal of Agronomy*, 55: 89-99.
  24. Zimble DA, Evans DL, Carlson GC, Parker RC, Grado SC, Gerard PD. 2003. Characterizing vertical forest structure using small-footprint airborne LiDAR. *Remote Sensing of Environment*, 87(2-3): 171-182.



## Using canopy height model derived from UAV images for tree height estimation in Sisangan forest

M. R. Kargar<sup>1</sup>, H. Sohrabi<sup>2\*</sup>

1 MSc. Student of Forest Sciences and Engineering, Faculty of Natural Resources and Marine Sciences, Tarbiat Modares University

2. Assoc. Prof. Department of Forest Sciences and Engineering, Faculty of Natural Resources and Marine Sciences, Tarbiat Modares University

### ARTICLE INFO

#### Article history:

Received 2 October 2018

Accepted 30 June 2019

Available online 17 October 2019

#### Keywords:

Unmanned aerial vehicle (UAV)  
Structure from Motion (SFM) algorithm  
Crown height model  
Digital terrain model  
Sisangan

### ABSTRACT

Recent advances in unmanned aerial vehicles (UAVs) technology, as well as the development of lightweight sensors, offers a great possibility for the measurement of different tree features with relatively low costs compared to traditional methods. In this research, the precision and accuracy of tree height measurement and estimation using imagery by a low-cost UAV were studied. For this aim, 854 images with an altitude of 100 m above the ground were taken and the images were processed and dense point cloud was extracted by applying Structure from Motion (SFM) algorithm. The study was conducted in 34.79 ha of Sisangan forest park and 28 sample plots (30 × 30 m) were located in the field and tree heights were measured. Also, tree height was measured using the canopy height model. Linear regression was applied to estimate the actual tree heights based on CHM derived tree heights. The accuracy and precision of the estimates were assessed using relative bias and relative root mean square error. The differences between the field measured and CHM derived tree heights were statistically significant. Based on the results, the relative root means the square error of the height estimation of *Buxus hyrcana*, *Carpinus betulus*, *Parrotia persica*, and other species was 20.39, 20.39, 20.57 and 20.52 percent, respectively. The results showed that tree height measurement based on UAV images and methods that were applied in this research, is biased and the estimations are highly uncertain.

\* Corresponding author e-mail address: hsohrabi@modares.ac.ir